# トピックス夢の技術



#### 1. はじめに

負の磁化率を有する反磁性体は磁界に反発するため、磁 石の上に浮上する磁気浮上を示す1). 磁石の上に反磁性体 を置くと、下向きに働く重力とは反対の上向きに磁気反発 力が生じるが、多くの物質の反磁性†1は非常に弱く、重力 が磁気反発力に勝るため磁気浮上は観測されない.一般に. 反磁性体の磁気浮上を観測するためには、磁束密度が10 Tを超える超伝導磁石のような非常に強い磁石が必要にな る<sup>2)~5)</sup>.一方,グラファイトや金属ビスマスといった特異 的に強い反磁性を有する物質では,一般に市販されている 0.3 T 程度の磁束密度を有するネオジム磁石を用いても磁気 浮上が可能となる 6) 7). 浮上した反磁性体は擬似的に微小 重力状態にあり、ほかの物体との接触面をもたないため、 わずかな力で効率良く運動させることができる. そのため. 磁気浮上はアクチュエータや搬送システムなどへの応用が 期待されている.しかし、これまで温度や光といった外部 刺激を用いて非接触で磁気浮上体を任意に動かす技術は皆 無に等しかった<sup>8)</sup>. 本稿では、グラファイトの優れた光熱 変換特性を利用することで、磁気浮上したグラファイトの 浮上距離, および浮上位置を非接触で自在に制御できる新 しい磁気駆動技術を紹介する 9).

## 2. 結果および考察

反磁性体の磁気浮上を最初に報告したのは、1939年のブラウンベック(W. Braunbek)らによる論文である<sup>1)</sup>. 1990年頃から磁気浮上に関する興味深い研究成果が発表されるようになったが、その中でもガイム(A. K. Geim)らが報告した超伝導磁石を用いて、カエルやバッタなどの生物を生きたまま磁気浮上させたデモンストレーションは大きな注目を集めた。近年では強い磁力をもつネオジム磁石の普及

で、磁気浮上は身近なものとなったが、磁気浮上体の浮上 距離や位置を自在にコントロールする技術の開発には至っ ていない。

磁気浮上は式 (1) に示すように、磁石上の物体に働く重力 (mg) と磁気反発力  $(F_{mag})$  のバランスで考えることができる.

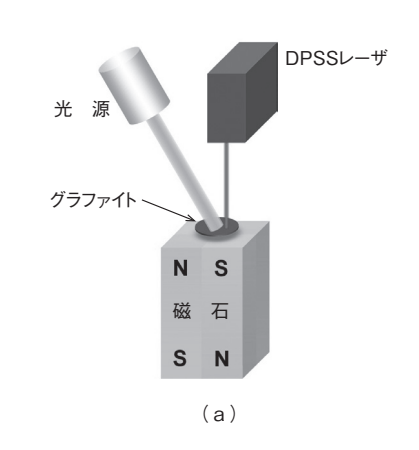
$$mg = F_{\text{mag}} = (\chi V / \mu_0) BdB/dz$$
 (1)

ここで、m は磁気浮上体の質量、g は重力加速度、 $\mu_0$  は 真空の透磁率、 $\chi$  と V はそれぞれ磁気浮上体の体積磁化率 と体積を表す。また B は磁界強度、z は浮上距離である。式(1)は、磁気浮上体の密度 p を用いて、式(2)のよう に簡略化することができる.

$$\rho g\mu_0/\chi = BdB/dz \tag{2}$$

式(2)より、浮上距離は磁界強度や磁界勾配、あるいは磁気浮上体の密度や磁化率で決まることがわかる。すなわち、これらの値を制御することで浮上距離の制御が可能になることを示している。

Panasonic が開発した「PGS グラファイトシート」(EYGS121803) は、高分子フィルムを熱分解によりグラファイト化する方



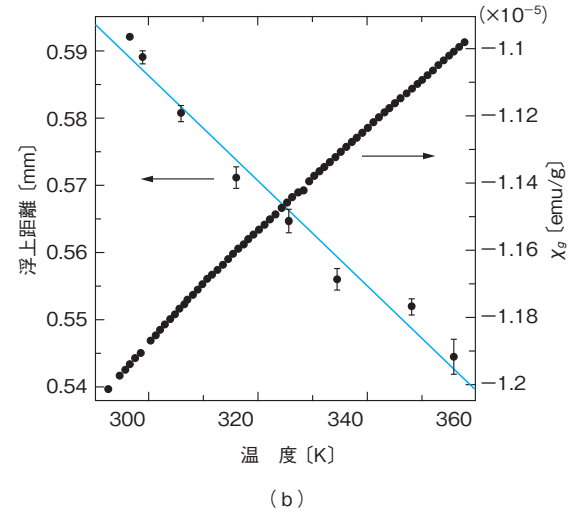


図 1 (a) 光熱変換を利用した磁気浮上距離の光制御の実験装置. ネオジム磁石 (サイズ: 3 × 3 × 10 mm, 磁束密度: 500 mT) 4 個 を隣接する磁極方向が逆になるように配置. PG 円板:厚さ 25 μm, 直径 3 mm, 質量 0.40 mg. 光源: DPSS レーザ (出力: 300 mW, 波長: 405 nm).

(b) 浮上距離と磁化率の温度依存性.

Vol. 30 No. 1 (2014)

<sup>†1</sup> **反磁性**:反磁性は磁性原子をもたない物質の磁気現象である.原子・イ オンまたは分子の周りで軌道運動している電子に外部磁界を印加すると、 レンツの法則に従う誘導電流によって外部磁界を妨げるような磁界が発生 する.このため外部磁界の方向とは逆向きの磁化を生ずる.

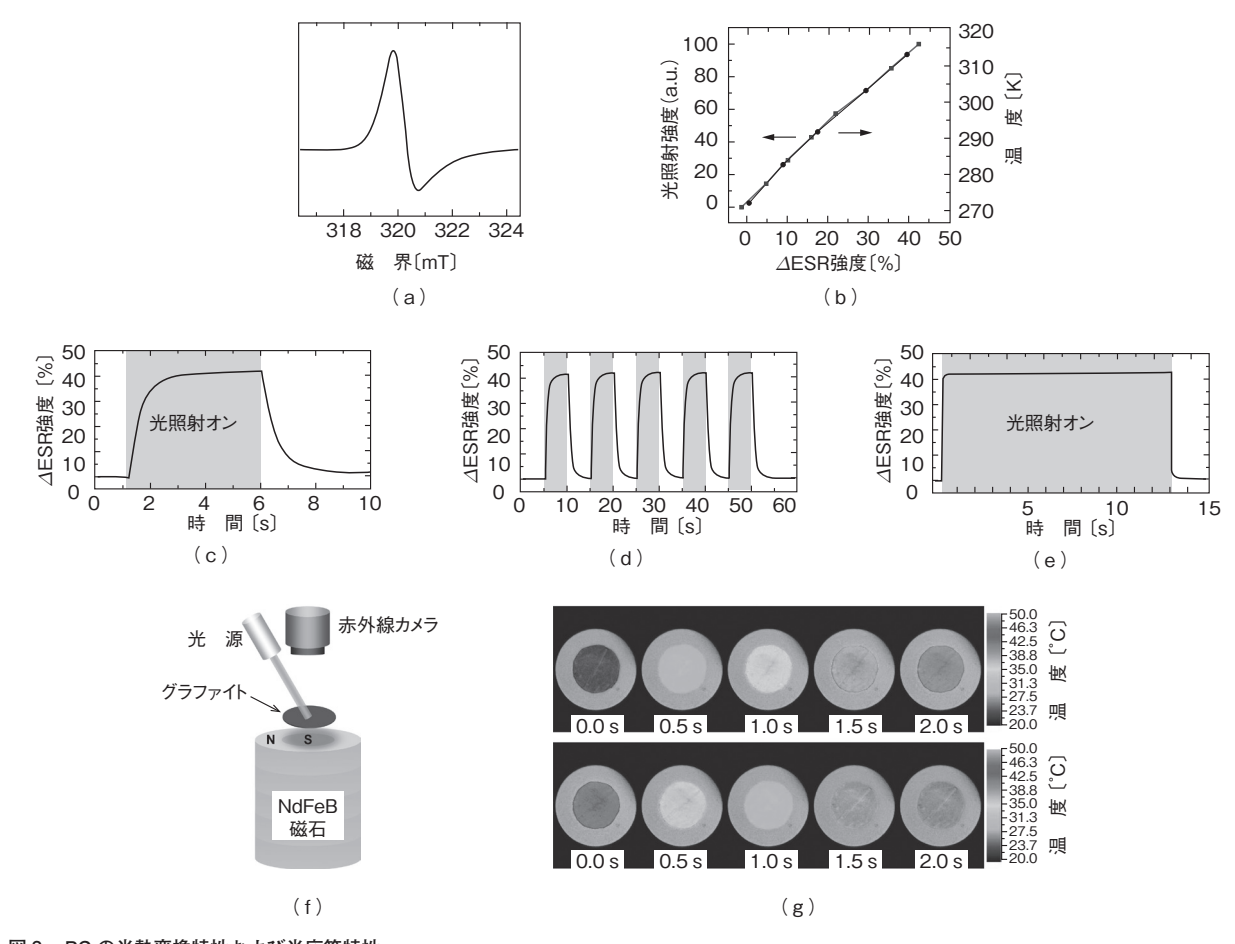


図 2 PG の光熱変換特性および光応答特性.
(a) PG の室温における ESR スペクトル. 磁界方向と PG の c 軸方向の角度を 65 度で測定. (b) PG の ESR 強度の温度および光照射強度依存性.
(c) ~ (e) 273 K における ESR 強度の光応答性. (f) 光熱変換特性測定の実験装置. 内側の円柱状ネオジム磁石: φ8 × 4 mm; 400 mT, 外側の円筒状ネオジム磁石: φ19 × φ'8.1 × 4 mm; 348 mT. PG 円板:厚さ 25 μm, 直径 10 mm, 質量 3.92 mg. 光源: DPSS レーザ(出力: 300 mW, 波長: 405 nm). (g) 光照射後 2 秒間のサーモグラム(上段)および光照射を停止後 2 秒間のサーモグラム(下段).

法で製造し、単結晶に近い構造をもつ高い配向性をもつ熱 分解グラファイト (PG) である. PG は高い熱伝導率を示 すことから主にヒートシンクに使われているが、その磁化 率は比較的大きな温度依存性を示す. 我々はPGの優れた 光熱変換特性に注目し、光照射による温度変化を利用した 磁化率制御により PG の磁気浮上距離を光で制御可能であ ることを見いだした. 図1(a)に示すように、磁極を交互 に並べた4個のネオジム磁石の上に磁気浮上したPG円板 に、レーザ光(波長 405 nm) を照射することで PG 円板の 温度変化を誘起した. PG 円板の表面温度と浮上距離は. 赤 外線サーモグラフィーとレーザ変位計を用いてそれぞれ測 定した. レーザ光強度 (0~260 mW) を変えると PG 円板 の表面温度が変化し、その結果として浮上距離が変化する ことがわかった. 図1 (b) に示すように、PG 円板表面の 温度が 293 K のときの浮上距離は 0.592 mm であり、温度の 上昇に伴って線形的に浮上距離が減少する. この現象は. PG 円板の温度上昇に伴い磁化率の絶対値が減少して、磁気 反発力が減少することに起因している. 実際に、図1(b) に示すように PG の磁化率の絶対値は、温度上昇に伴い線 形的に減少する. この磁化率の絶対値の減少は. 熱励起電

子数の増加による常磁性成分の増大によるものと考えることができる<sup>10)</sup>.

PG の光熱変換機構を詳細に検討するために、電子スピン共鳴 (ESR)<sup>†2</sup>を測定した。PG の ESR スペクトルは電気伝導体に特徴的なダイソニアン (Dysonian) 波形を示す (図2 (a)) <sup>10)</sup>. PG の ESR 強度は光照射や加熱により増大するが、それらの関係を図2 (b) にまとめてある。PG にレーザ光を照射すると ESR 強度は速やかに増大し約2秒で一定値に到達する。一方で、光照射を止めると約2秒で元の強度に戻る (図2 (c)). これは、光照射により PG の温度が上昇して、熱励起電子数が増大したことを示している。図2 (d), (e) に示すように、光照射のサイクルを繰り返しても安定な応答や、長時間の光照射(約12.5分)でも安定した ESR 強度を示す。さらに、円筒状磁石と円柱状磁石を図2 (f) のように配置した磁石上に磁気浮上した PG 円板の光

32 NEW DIAMOND

<sup>†2</sup> 電子スピン共鳴 (Electron Spin Resonance):電子スピン共鳴 ESR は、 静磁界中に置かれた電子スピンに対し、ゼーマン分裂のエネルギーに相当 する電磁波を照射し、共鳴吸収を観測する実験手法である。吸収強度・線 幅・共鳴磁界などの物理量から、導電性・電子状態・機能性・構造に関す る情報が得られる。

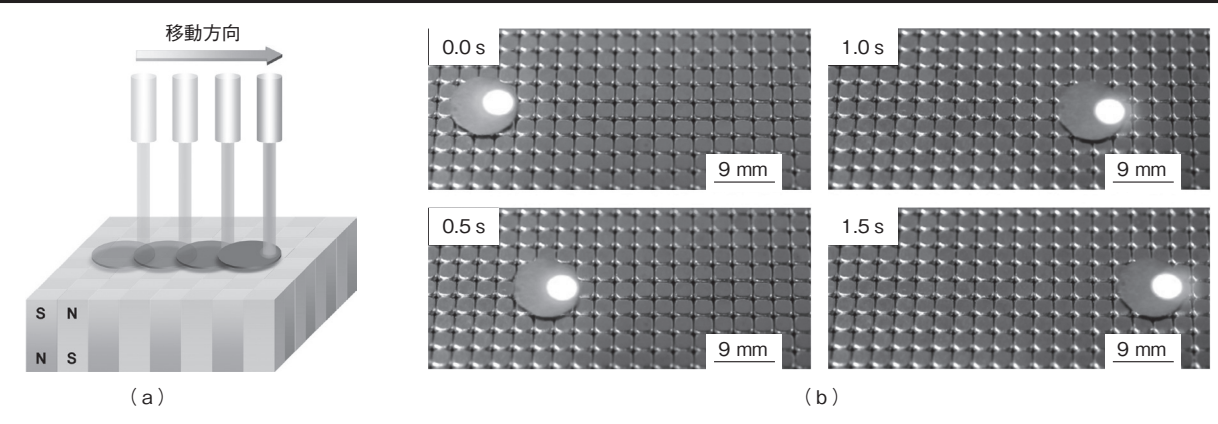


図 3 磁気浮上 PG の光駆動.

(a) 実験装置. ネオジム磁石 (サイズ:  $3 \times 3 \times 10$  mm, 磁束密度: 500 mT) を隣接する磁極方向が逆になるように配置. PG 円板: 厚さ  $25~\mu$ m, 直径  $10~\mu$ m, 質量  $3.92~\mu$ m, 近径  $10~\mu$ m, 質量  $10~\mu$ m, 近十二、 $10~\mu$ m,

熱変換応答を赤外線サーモグラフィーで観測した. 300 mW のレーザ光を PG 円板の中心に照射して, 33 ミリ秒おきにサーモグラムを記録した結果を図 2 (g) に示す. サーモグラムより, レーザ光を照射すると PG 円板の表面温度は約 2 秒で 20 ℃程度上昇し, 光照射を止めると約 2 秒程度で室温に戻ることがわかる. この応答時間は ESR 強度の応答速度とよく一致していることから, 光熱変換により熱励起電子数が増加していることが明らかになった.

さらに、我々は磁気浮上した PG 円板を光で自在に動か すことに成功した. 図3(a)に示すように複数の磁石の磁 極を、市松模様になるように配置した磁石アレーの上に磁 気浮上した PG 円板にレーザ光を照射すると、図3(b)の ようにレーザ光の動きに追随して PG 円板を自在に操るこ とができる. PG 円板の中心部にレーザ光を照射した場合は 動かないが、PG 円板の端部に光照射することで PG 円板を 動かすことができる. この場合, PG 円板の最大移動速度は 45 mm/s にも達することがわかった. この現象は次のよう に考えることができる. (i) PG 円板の端部に光照射すると, 照射部分の温度が上昇して、表面温度に分布ができる。(ii) 光照射した部分の磁化率の絶対値が減少し、浮上距離が減 少することで、PG円板に傾きが生じる. (iii) PG円板は傾 いた方向に移動する. (iv) PG円板が動くことで、光照射 部位が端部から中心部に移動し、PG 円板の並進運動が停止 する. 以上の過程を繰り返すことで、PG 円板はレーザ光照 射の方向に沿って移動を続ける. このような磁気浮上体の 運動光制御はこれまでに報告がなく, 我々が世界に先駆け て達成したものである.

最後に、磁気浮上体の回転運動の光制御について述べる. 我々は、円筒状磁石と円柱状磁石を図2(f)のように配置した磁石上に磁気浮上したPG円板の端部にレーザ光を照射すると、回転運動が誘起されることを見いだした。回転速度は20 min<sup>-1</sup>に達する。図4に示すPG円板の端部にレーザ光を照射した場合のサーモグラムから、円板表面に温度分布が生じており、この温度分布が回転運動を誘起してい ることが推測される. 光照射直後の様子を注意深く観察すると, 光照射直後には, 図3に示した直線運動のときと同様に, PG 円板は光照射方向に移動していることがわかった. しかし, PG 円板は磁界ポテンシャルの壁にぶつかるために, その壁を越えて移動することができずに, 左右どちらかの方向に逃げることで回転運動が始まるものと考えることができる. 回転方向や回転速度は光照射する場所に依存するが, これは外側の円筒状磁石の内径と内側の円柱状磁石の外径がわずかに異なるために, 磁界分布が理想的な円筒対称になっていないことに起因しているものと思われるが, その詳細については明らかにされていない. さらに, 太陽光をレンズで集光して, PG 円板の端部に照射すると200 min<sup>-1</sup>という高速回転運動を実現することができた.

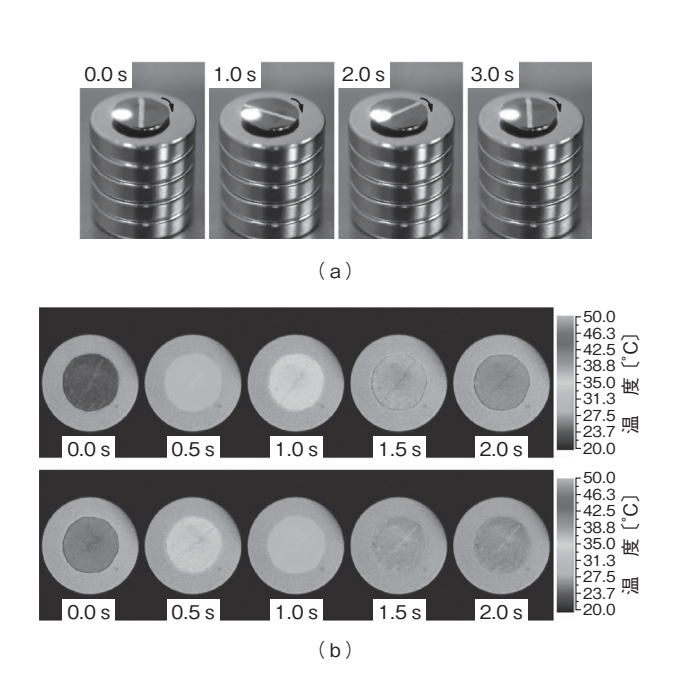


図 4 磁気浮上 PG の光回転運動.

実験装置概略は図2(f)で記述したものと同じ.

(a) 磁気浮上 PG の端部に光照射することで誘起される時計方向の回転. (b) 光照射後 1.5 秒間のサーモグラム (上段) および光照射を停止後 1 秒間のサーモグラム (下段).

Vol. 30 No. 1 (2014)

### 3. まとめ

クィディッチは、ハリー・ポッターの映画に登場する魔 法使いや魔女が空を飛ぶ魔法の箒に乗って行う架空の球技 だが、一方のチームが、空中を素早く飛び回る金属製のボー ルであるスニッチを捕まえることでゲームが終了となる. 我々は、光応答性材料を利用してスニッチの動きを実現し たい、という思いから磁気浮上体の運動光制御の研究に着 手した. 優れた光熱変換特性と高い熱伝導特性を併せもつ PG は、大きな負の磁化率を有することから安価で強い磁力 をもつネオジム磁石上に容易に磁気浮上させることができ る. 我々は、PGに光照射を行うと、光熱変換により温度 上昇が起こり、磁化率の絶対値が減少することで PG の磁 気反発力が減少して, 浮上距離が低くなることを初めて見 いだした. 原理は極めて簡単であるが, 光照射部位の浮上 距離が低くなることを応用することで、磁気浮上 PG の並 進運動のみならず回転運動を光でコントロールすることに 成功した. このような光運動制御技術では磁気浮上体の駆 動に用いる光の波長や光源の種類について特に制限がなく、 キセノンランプや発光ダイオードなどの人工的な光源だけ でなく、太陽光でもPGの運動を実現できることを実証した. さらに,この光運動制御技術は,超電導磁石といった大規 模な装置を必要とせず、安価なネオジム磁石を用いて実現することができるため、装置作成のコストを抑えられ、また、必要に応じて装置の規模を任意に変更できる点で、極めて汎用性が高い磁気駆動装置であるといえる。今後は光による物質輸送や、光アクチュエータのみならず、従来の技術にはない全く新しいクリーンで低コスト太陽光発電システムへの応用が期待される。

### 参考文献

- 1) W. Braunbek: Z. Phys., 112, p. 764 (1939)
- 2) E. Baugnon and R. Tournier: Nature, **349**, p. 470 (1991)
- 3) M. V. Berry and A. K. Geim: Eur. J. Phys., 18, p. 307 (1997)
- A. K. Geim, M. D. Simon, M. I. Boamfa and L. O. Heflinger: Nature, 400, p. 323 (1999)
- 5) M. D. Simon and A. K. Geim: J. Appl. Phys., 87, p. 6200 (2000)
- 6) R. Pelrine: Am. Sci., 92, p. 428 (2004)
- 7) Q. Li, K. -S. Kim and A. Rydberg: Rev. Sci. Instrum., 77, p. 065105 (2006)
- Y.Mizutani, A.Tsutsumi, T. Iwata and Y. Otani: J. Appl. Phys., 111, p. 023909 (2012)
- 9) M.Kobayashi and J.Abe: J. Am. Chem. Soc., **134**, p. 20593 (2013)
- 10) G.Wagoner: Phys. Rev., 118, p. 647 (1960)

#### 執筆者連絡先 …-

阿部 二朗(Jiro Abe) 青山学院大学理工学部

〒 252-0206 神奈川県相模原市中央区淵野辺 5-10-1

34 NEW DIAMOND